

Метод Кирлиан.

Колтовой Николай Алексеевич

koltovoi@mail.ru

Москва

2014

Глава 8. Корона. Анализ структуры короны свечения.

- 8.1 Поры.
- 8.2 Различные исследователи свечения пор.
- 8.3 Строение стримера и короны.
- 8.4 Норма.
- 8.5 Провалы (выпадения) в короне.
- 8.6 Шарообразные выбросы в короне.
- 8.7 Аномальные стримеры.
- 8.8 Различные аномалии короны.
- 8.9 Точечные плазмиды.
- 8.10 Многослойное строение короны.
- 8.11 Взаимодействие биополей двух людей. Совместимость людей.
- 8.12 Попытка объяснения аномального строения короны.

8.1 Поры.

Излучение исходит от стримеров, которые выходят из пор в коже. Поры заполнены токопроводящей жидкостью. Основной состав пота это 99% воды и 1% соли NaCl. Разумеется, интенсивность свечения стримеров, выходящих из разных пор различна. Поры различаются по диаметру раскрытия, по диаметру токопроводящей жидкости. Чем больше диаметр поры, тем более интенсивное свечение возникает. Необходимо отметить, что не само потоотделение влияет на структуру короны, а потовые железы и их состояние.



Рис. 8-1. На фотографии видно, что корона состоит из множества отдельных стримеров.

Строение пор на подушечке пальца.



Рис. 8-2. Папиллярный узор на пальце и его увеличенное изображение.

На поверхности пальца имеется папиллярный узор. Это рельеф кожного покрова, образованный чередующимися валиками (высотой 0,1-0,4 мм, шириной 0,2-0,7 мм) и бороздками-углублениями (шириной 0,1-0,3 мм). Белые точки на папиллярной линии это поры. По некоторым оценкам плотность потовых желез и нервных окончаний на ладони составляет примерно 100 шт/см². **К каждой потовой железе подходит нервное окончание, которое управляет порой.**

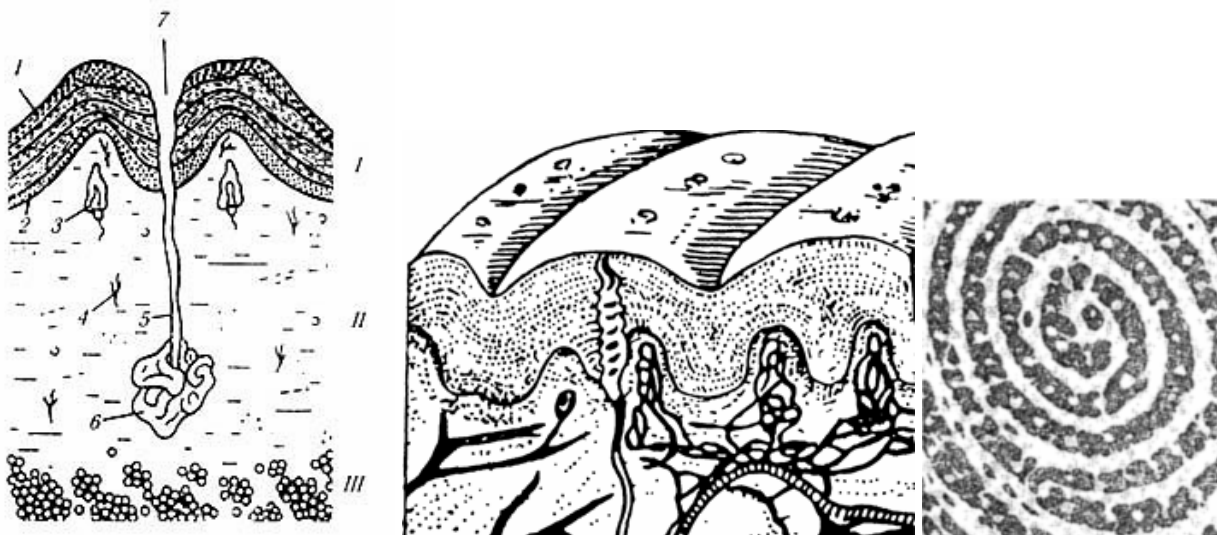


Рис. 8-3. Строение кожи.

У людей с влажной (жирной) кожей свечение более интенсивное, так как имеется большое количество пор.

В качестве физической модели кожи можно рассмотреть резиновую пластинку, в которую воткнуты металлические проволочки различного диаметра.

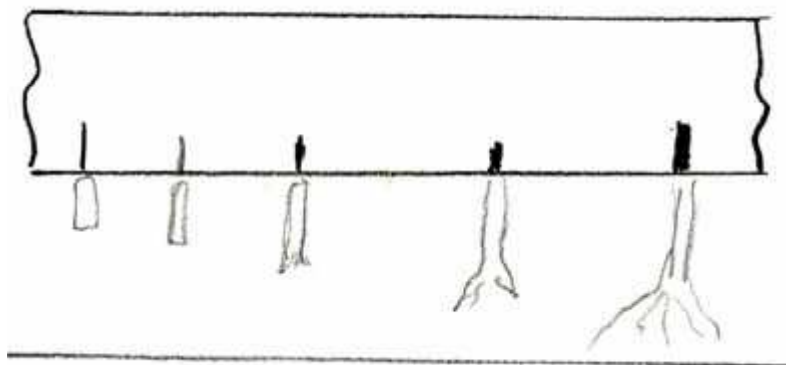


Рис. Зависимость вида короны свечения от диаметра проволочки.

Механизм управления состоянием поры.

Функционированием потоотделения управляет симпатическая нервная система, которая является частью вегетативной нервной системы.

Психогальванический рефлекс заключается в кратковременном, более или менее резком, рефлекторном изменении электропроводимости кожи. Изменение электропроводимости непосредственно связано с изменением в деятельности потовых желез, которое наблюдается при эмоциях, а также с изменением ширины просвета кожных сосудов. Эти же изменения в свою очередь вызываются деятельностью вегетативной нервной системы.

Потовые железы человека моментально реагируют на малейшие изменения эмоционального фона. Это доказано изучением КГР кожной гальванической реакции. Регистрация КГР, наряду с регистрацией других физиологических показателей, используется в работе полиграфа "детектора лжи". Следовательно, фотография в высокочастотном разряде участка кожи всегда будет отражать эмоциональное состояние испытуемого.

Механизм потоотделения. Потовые железы получают иннервацию от симпатических отделов вегетативной нервной системы. Симпатические нейроны, иннервирующие потовые железы, расположены в боковых рогах (от I грудного до II поясничного сегмента) спинного мозга. Характерен сегментарный принцип иннервации потовых желез, т. е. от определенных сегментов спинного мозга отходят волокна к железам определенных отделов тела. Поскольку потовые железы получают симпатическую иннервацию, потоотделение можно наблюдать не только при раздражении терморепцепторов поверхности тела, но и при других состояниях, характеризующихся возбуждением так называемой симпатико-адреналовой системы (страх, боль и т. п.).

8.2 Различные исследователи свечения пор.

1965-Кирлиан Семен Давыдович.

В 1965 году Кирлиан С.Д. изучал свечение пальцев целителя Криворотова А.Е. Кирлиан включил Криворотова в колебательный контур, подставил его палец под микроскоп. Гость смотрел в окуляр, потрясенный. **Из пор** и каналов кожи изливалось холодное синее пламя, яростно вздымались протуберанцы, целые стада "амеб" переползали с места на место, то сливаясь вместе в один полыхающий костер, то дробясь на части.

При анализе структуры короны можно видеть, что излучение происходит не со всей поверхности равномерно, а в некоторых точках. Ориентировочное число излучающих точек на подушечке пальца несколько десятков.

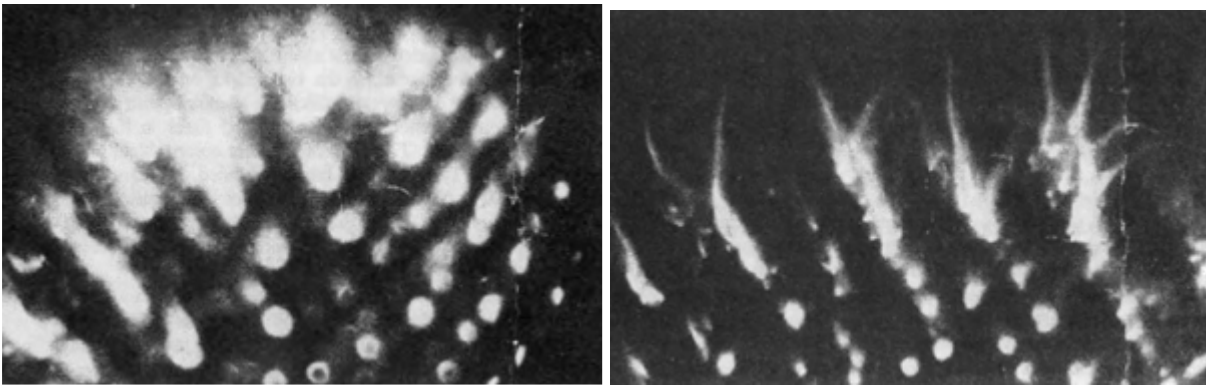


Рис. 8-4. Свечение подушечек пальцев под микроскопов (Кирлиан С.Д. 1965). На фотографии видно, что светящиеся точки расположены рядами (вдоль папиллярных линий).

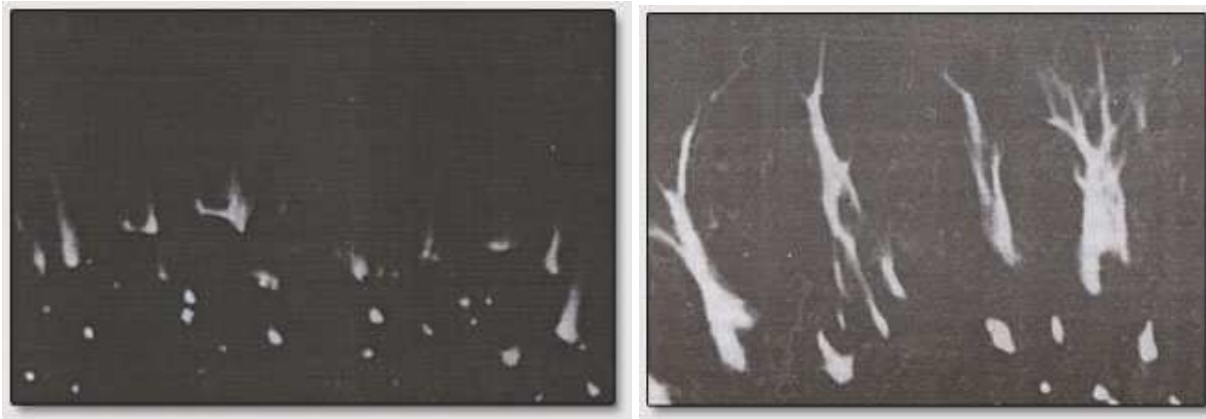


Рис. 8-5. Свечение пальцев экстрасенса Криворотова А.Е, до подготовки к сеансу и после подготовки к сеансу терапии (увеличение в 50 раз).

1996-Санкин Георгий Николаевич,

1996-Санкин Г.Н. Институт гидродинамики СО РАН, Новосибирск.

1996-Санкин Г.Н. Тесленко В.С. Исследование электрического разряда в воздухе с капиллярным электролитическим электродом. Письма в ЖТФ. 1996. т.22. №24. с.49-53.+

2000-Санкин Г.Н. Тесленко В.С. Моделирование пористого кожного покрова человека в методе газоразрядной визуализации Кирлиан. Системный подход к вопросам анализа и управления биологическими объектами. Конф. Москва. 2000. с.15-16.

В статье предполагается, что свечение по контуру пальца человека является коронным разрядом на открытых порах потовых желез. Произведено моделирование этого эффекта с помощью множественных капилляров из полиметилметакрилата с внутренним диаметром 50мкм, наполненных водным раствором NaCl 0,3%. Сходство фотографий свечения пальцев и искусственных капилляров оказалось поразительным. Авторы делают заключение, что наблюдаемое свечение по контуру пальцев является коронным разрядом на открытых порах потовых желез.

При заполнении капилляров чистой водой свечение не было обнаружено.

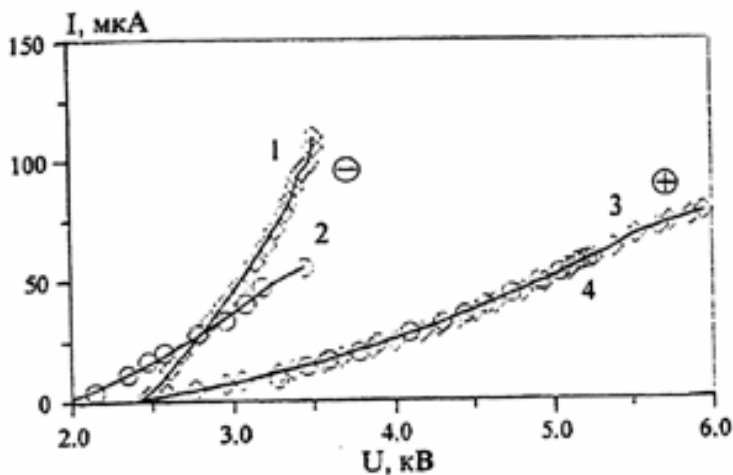


Рис. 8-6. Вольтамперная характеристика коронного разряда для межэлектродного расстояния 2мм. 1-отрицательная корона на медном электроде, 2-отрицательная корона на жидком электроде, 3-положительная корона на медном электроде, 4-положительная корона на жидком электроде.

Показано, что при отрицательном электроде образование коронного разряда происходит при гораздо меньшем напряжении, чем при положительном электроде. Эксперименты проводились **при постоянном напряжении**.

Запорожье. Запорожский центр научно-технического творчества молодежи (ЦНТТМ), лаборатория биофизики.

1971-Щедрин Александр Павлович, руководитель лаборатории.

Занимается методом Кирлиан с 2000 года. Каждый живой организм существует благодаря обмену веществ. Часть продуктов обмена выводится через кожный покров в газообразной форме. Непосредственно на поверхности кожи продукты обмена смешиваются с воздухом, образуя микроатмосферу сложного состава. Любое изменение в состоянии организма влияет на обмен веществ, следовательно, влияет на состав микроатмосферы. При наложении высокочастотного электрического поля микроатмосфера, в полном соответствии с известными физическими законами, начинает светиться. Вполне естественно, что характер свечения (цвет, яркость и т.п.) зависит от ее состояния. Более того, в лаборатории биофизики ЦНТТМ обнаружили, что при определенной температуре организма свечение практически исчезает, а при дальнейшем повышении или понижении температуры появляется вновь. Этот результат легко объясняется изменением характера работы сальных и потовых желез от температуры, которое хорошо известно физиологам. Здесь уместно отметить, что при обезжиривании участка листа свечение его немедленно прекращается и восстанавливается лишь через некоторое время.

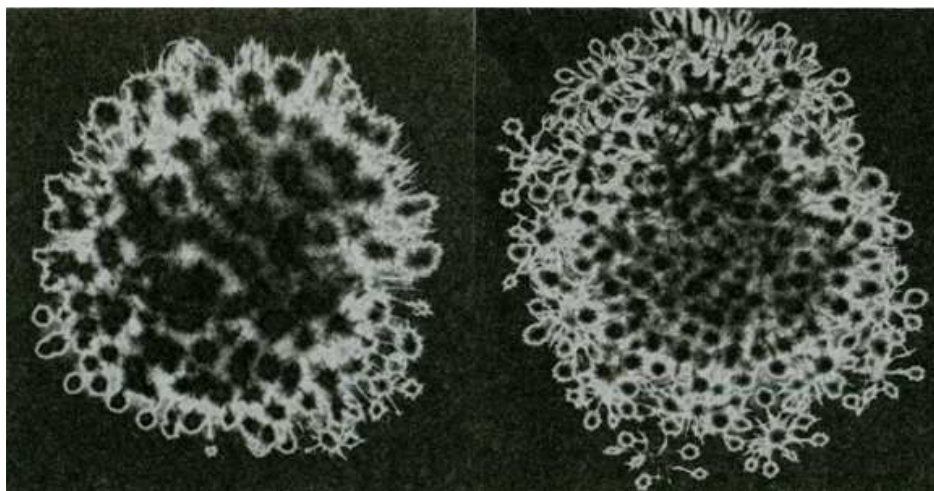


Рис. Свечение пальца зарегистрированное методом моноимпульсной дистантной регистрации. (Бондарев В.М. 1997)

8.3 Строение стримера и короны.

Основной источник формирования изображения это газовый разряд вблизи поверхности исследуемого объекта. Можно выделить два основных типа разряда, связанных с формированием кирлианограмм:

А-лавинный, развивающийся в ограниченном диэлектриком узком зазоре. Этот разряд приводит к образованию короны. Этот тип разряда четко проявляется в режиме накопления.

Б-скользящий по поверхности диэлектрика. Этот разряд приводит к образованию тонких стримеров. В режиме накопления тонкие стримеры пропадают.

Необходимо подчеркнуть, что проявление на изображении различных компонент короны существенно зависит от двух основных составляющих:

1-режим регистрации, в зависимости от режима регистрации различные компоненты проявляются в разной степени,

2-режим обработки изображений на компьютере. При фильтрации изображения многие тонкие компоненты пропадают. В этом смысле регистрация на фотобумаге более информативна.

Строение стримера.

Каждый стример состоит из трех частей:

1-начальная часть, стационарная, основание стримера, начинается от поверхности кожи, цилиндрическая форма, длина 2мм, толщина 0,1мм, лавинный разряд.

2-центральная часть, динамическая, разветвление стримера, разветвленная форма, длина 2мм, ширина 2мм, лавинный разряд,

3-конечная часть, динамическая, тонкие длинные радиальные ветки, длина 15-20мм, толщина 0,01мм, скользящий разряд вдоль поверхности.

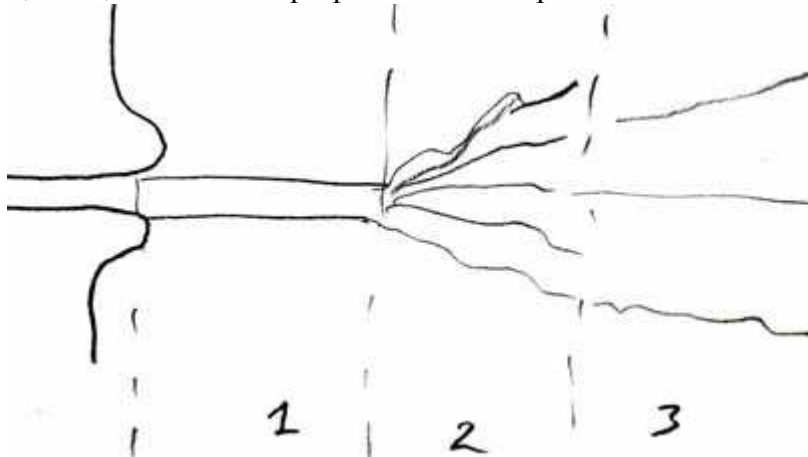


Рис. Строение стримера, 1-начальная часть, 2-средняя часть, 3-конечная часть. Слева находится потовая пора.

Строение короны.

Так как корона состоит из отдельных стримеров, то в ее составе так же можно выделить три уровня:

1-Кольцо, плотное свечение, прилегающее к границе пальца, ширина 2мм. Кольцо образуется свечением начальных цилиндрических частей стримеров.

2-Стримеры, бахрова вокруг кольца, образованная центральной частью стримера, ширина 2-5мм.

3-Тонкие стримеры, тонкие ветки поверхностного разряда.

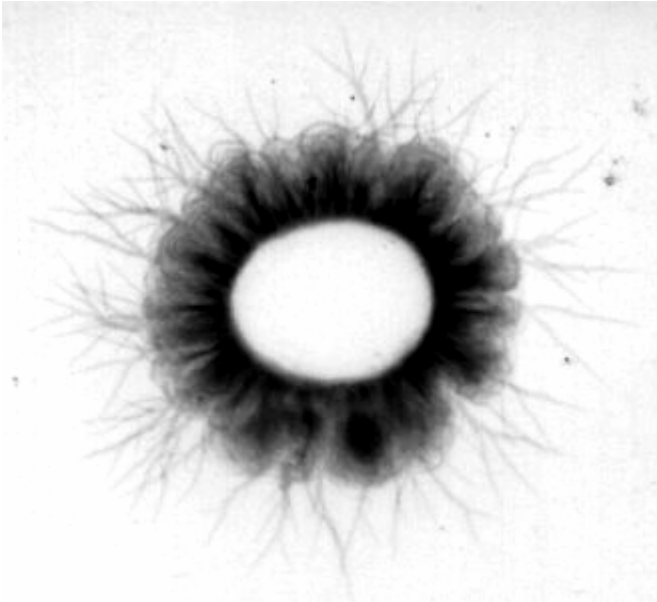


Рис. Три уровня строения короны.

Различные виды короны.

В зависимости от режима регистрации и от состояния пациента возможны различные варианты в конкретном виде короны.

В зависимости от диаметра поры и от приложенного напряжения изменяется величина тока (заряда), протекающего по стримеру. При этом возникают стримеры различного размера и формы.

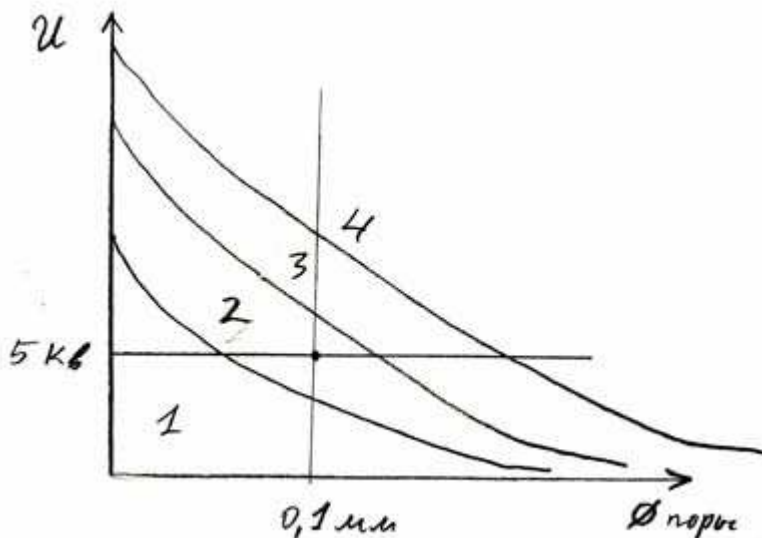


Рис. Различные типы разряда в зависимости от диаметра поры и напряжения.

- 1-нет разряда,
- 2-короткий коронный разряд в виде столбика,
- 3-длинный коронный разряд с разветвленными стримерами на конце,
- 4-древовидный коронный разряд.

Форма стримеров зависит от режима регистрации. Кирлиан С.Д. отмечал, что при низких частотах фотографии получаются грубоватые, с толстыми линиями стримерами, а при высоких частотах стримеры очень тонкие и красивые.

Если регистрация происходит все время при одинаковом напряжении, то вид короны будет определяться прежде всего состоянием пор. Чем больше диаметр поры, тем крупнее стример. Можно выделить три основных состояния поры и три вида стримеров:

- закрытая пора, нет стримера,
- открытая пора, нормальный стример,
- сильно открытая пора, большой стример.

В зависимости от состояния пор возможны различные виды короны:

- В норме все поры находятся в нормальном состоянии, кольцо короны плотное и однородное.
- Если часть пор будет закрыта (равномерно по поверхности), то кольцо будет не плотным, и будет состоять из отдельных видимых стримеров.
- Если в каком-то секторе часть пор будет закрыта, то в этом секторе короны образуется провал.
- Если все поры закрыты (подавленное психическое состояние), то стримеры не образуются, очень слабое свечение.
- Если в каком-то секторе часть пор будет сильно открыта, то в этом секторе образуется большой стример.
- Если все поры сильно открыты (состояние страха), то все стримеры большие, образуется корона страха.

В норме все поля и процессы в организме сбалансированы. Поэтому в норме корона свечения выглядит однородной. При отклонениях от нормы (при заболевании) происходит разбалансировка энергетических полей и излучений. В короне появляется два основных типа отклонений:

- 1-провал, недостаток энергии,
- 2-выброс, избыток энергии.

Можно предположить следующую интерпретацию:

- 1-норма, равномерная корона, равномерное непрерывное излучение,
- 2-провал, отсутствие излучения,
- 3-выброс, пульсирующее излучение. Если рассмотреть динамику выброса, то это скорее всего динамическое образование, которое постепенно отделяется от короны. Частота пульсаций скорее всего связана с различными ритмами функционирования организма (например ритмами мозга).

Петер Мандель, согласно своей врачебной практике по анализу кирлиан снимков, выделил три основные формы излучений, характеризующих различную стадию заболевания:

1. Выпадение излучений, это начальная стадия заболевания,
2. Шарообразные излучения, это средняя стадия заболевания,
3. Дегенеративные излучения, это конечная стадия заболевания.

1968-Антонов Антон (prof. Antovov Anton), профессор, Болгария.

Было установлено, что вне границ видимого простым человеческим глазом ореола находится другой ореол, называемый далеким. Он состоит из одного или нескольких разрядных шлейфов. При высокочастотной фотографии получены ореолы трех видов:

- 1-ореол типа "короны" с волокнистой периферией,
- 2-ореол типа "хало" с диффузно размытой внешней границей,
- 3-"точковидный ореол", в котором наблюдаются характерные разрядные точки. Этот ореол наблюдается не самостоятельно, а только при наличии двух других.

Существуют различные ореолы "смешанного типа", которые получаются при сочетании основных типов. При некоторых заболеваниях и при более тяжелых нарушениях физиологического и психического характера изменяются очертания ореолов.

2010-Песоцкая Л.А. выделяет три компоненты в короне.

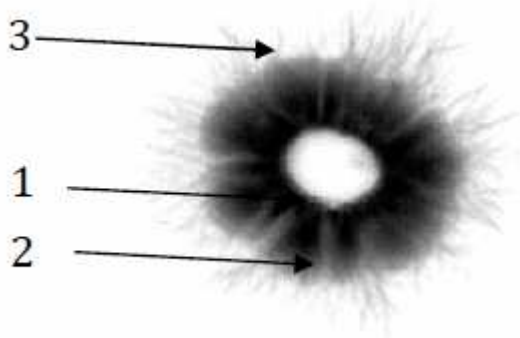


Рис. 8-10. Структура короны.

1-внутреннее кольцо правильной формы,

2-кольцо из стримеров,

3-тонкие лучи люминесценции.

Стримеры имеют практически одинаковую длину и равно отдалены друг от друга. Длина стримеров определяется общим энергетическим потенциалом человека. Внутреннее кольцо характеризует внутренние энергетические потоки организма, стримерное кольцо определяет энергоинформационное взаимодействие организма с окружающей средой, а люминесценция характеризует защитную психическую энергию человека.

1999-Коротков К.Г.

На основании большого массива экспериментальных данных ГРВ-грамм пальцев рук человека была проведена классификация изображений по топографическому характеру распределения элементов. В честь человека, внесшего значительный вклад в развитие метода, мы предложили обозначать разные типы газоразрядных изображений пальцев рук человека буквами: K,R,L,N,S,D,V-производными от KiRLiaN Semion David & Valentina.

K-тип-яркое ровное свечение без крупных разрывов и дефектов, стримеры длинные, разветвленные, расположены близко друг от друга, часто перекрываются, но вместе с тем их структура четко обозначена, контур свечения относительно ровный-дефекты не сильные, не более чем в одном секторе, фрактальные коэффициенты не велики, контур внутреннего овала четко намечен,

R-тип-изображение часто состоит из внутренней плотной засветки и более тонкой наружной структуры, дефекты занимают до 50% площади, что приводит к увеличению фрактальных коэффициентов,

L-тип-дефекты более 50%, но по изображению можно четко проследить контур внутреннего овала.

N-тип-изображение состоит из отдельных разветвленных стримеров, расположенных на расстоянии друг от друга, контур внутреннего овала намечен четко, в данном типе дефекты сравнительно редки.

S-тип-свечение состоит из отдельных выбросов, либо полностью отсутствует, контур внутреннего овала не намечен.

D-тип-отличается сильным уровнем "шума",

V-тип-свечение, близкое к K-типу, отличие в том, что стримеры расположены настолько плотно, что их структура неразличима, свечение в виде сплошного однородного изображения.

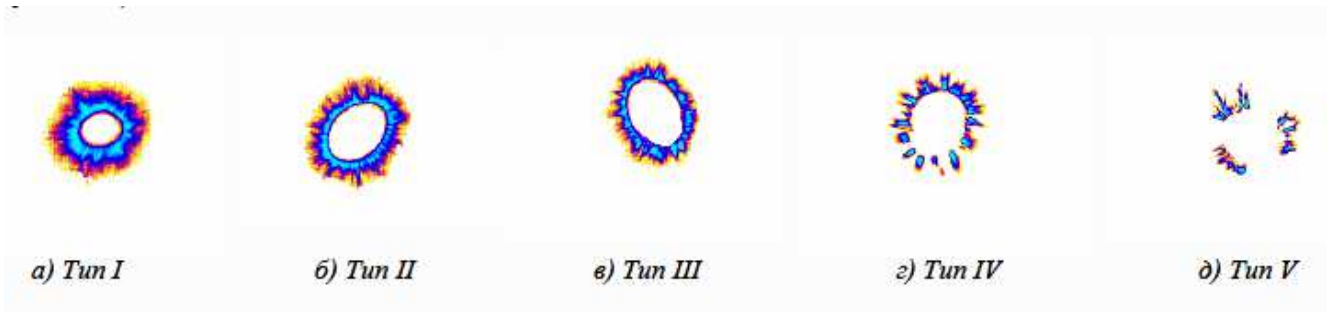


Рис. Типы ГРВ-грамм.

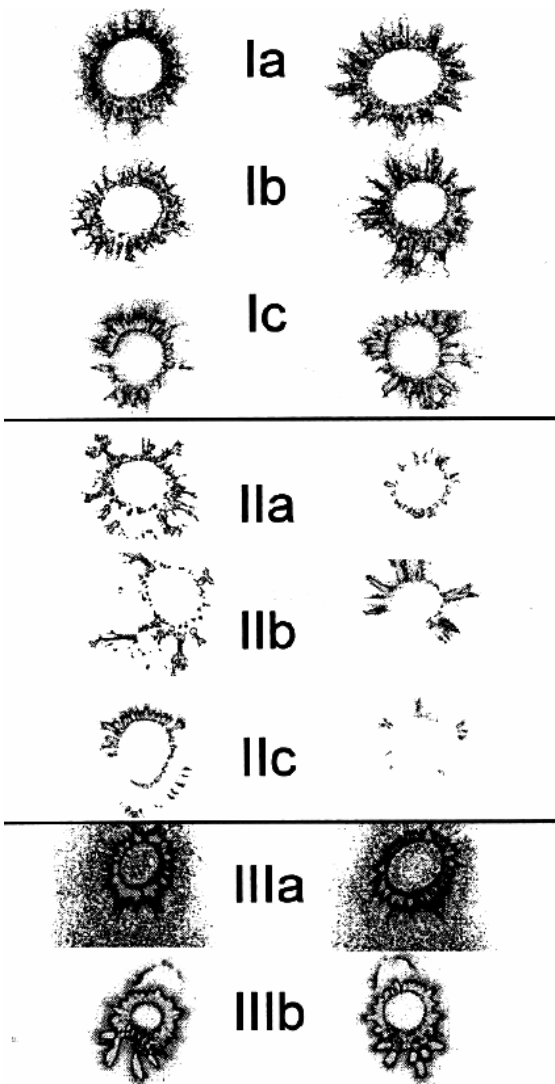


Рис. Типы БЗО-грамм по степени ухудшения состояния организма.

8.4 Норма, здоровый человек.

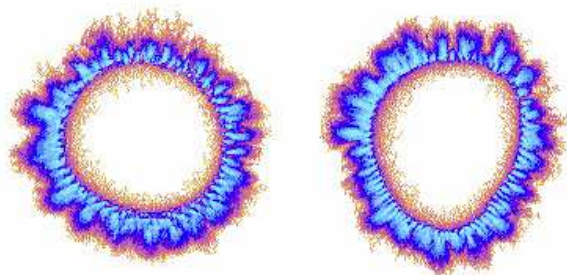


Рис. 8-11. Здоровый человек (Коротков К.Г.).

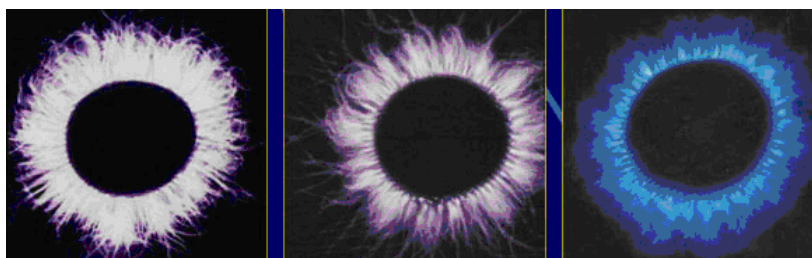


Рис. 8-12. Здоровый человек (Лопатин С.Л.).

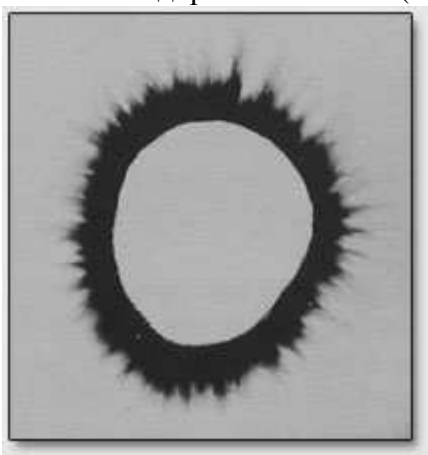


Рис. 8-13. Здоровый человек (Мандель П.) (негатив)

8.5 Провалы (выпадения) в короне.

Мандель П. Наличие выпадений в короне говорит о начальной, первой, стадии заболевания, которая проходит на энергетическом уровне, и поэтому может не ощущаться физическими чувствами пациента в определённом органе, в котором произошло выпадение излучений. Как правило, такие пациенты имеют жалобы на головные боли, усиленное потоотделение ладоней, перепады давления, сердечное беспокойство, общее недомогание, повышенную нервную возбудимость и раздражение. Выпадения указывают на общую функциональную недостаточность органа, в секторе которого наблюдается выпадение. Выпадения могут охватывать небольшие сектора, а могут распространяться на всю корону одного пальца, или даже на все пальцы рук и/или ног.

Мамедов Ю.Э. Энергетический дефицит, провал (блок) дефектная зона в короне свечения, в которой резко снижена (дефицит) или вовсе отсутствует свечение (блок, провал). Такие провалы свидетельствуют о нервной возбудимости, снижении (прекращении) циркуляции кровотока, давлении на ткань (орган). Небольшие провалы часто отмечаются в ранее травмированных тканях или органах, а также в зонах, где было произведено оперативное вмешательство.

Песоцкая Л.А. Эндокринный тип Кирлиан свечения (выпадения или отсутствие свечения в короне излучений). Эндокринный тип излучения имеет отношение ко всем заболеваниям, связанным с дисфункцией вегетативной нервной системы.

Провалы (выпадения) можно классифицировать по ширине (широкое или узкое) и по глубине (полное или неполное) выпадение.

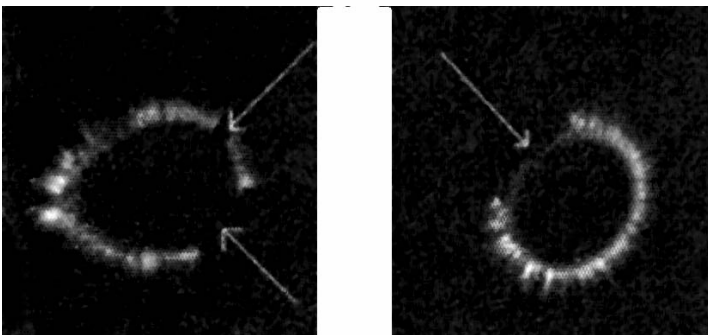
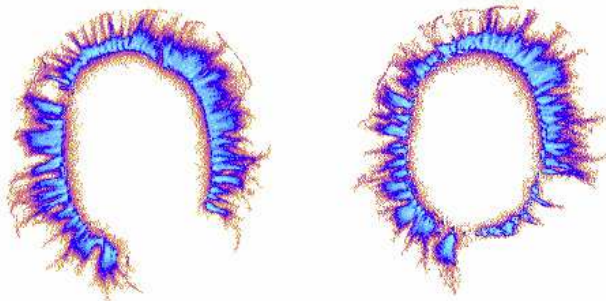


Рис. 8-14. Неполная корона (дистрофия). Слева полное выпадение, справа неполное выпадение. (Коротков К.Г.).

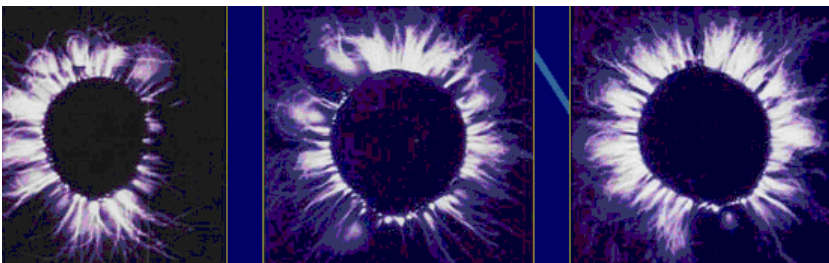


Рис. 8-15. Малые выпадения (Лопатин С.Л.).

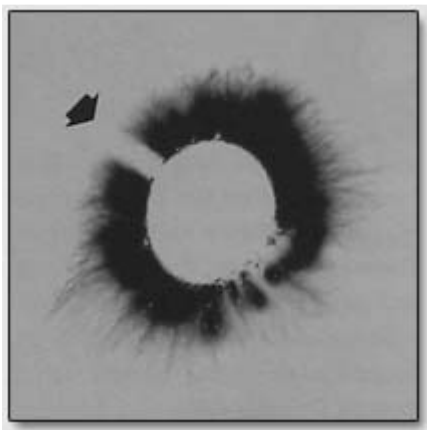


Рис. 8-16. Малое секторальное выпадение (Мандель П.) (негатив)

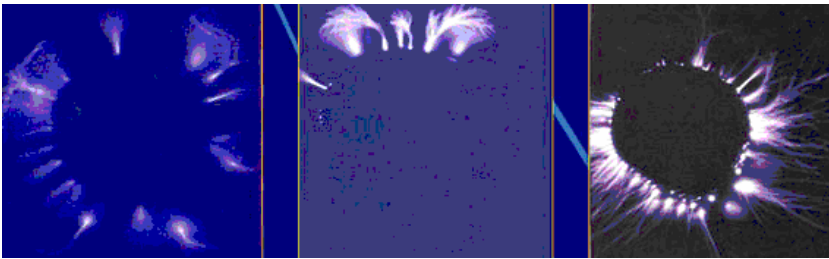


Рис. 8-17. Большие выпадения (Лопатин С.Л.).

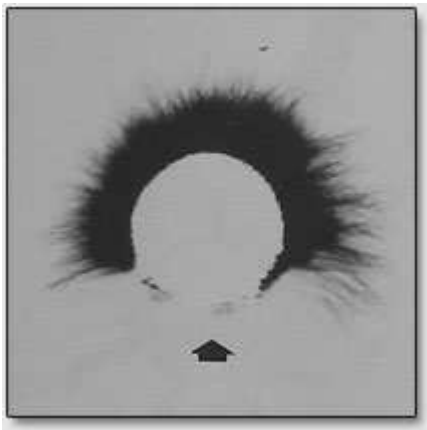


Рис. 8-18. Обширное секторальное выпадение (Мандель П.) (негатив)

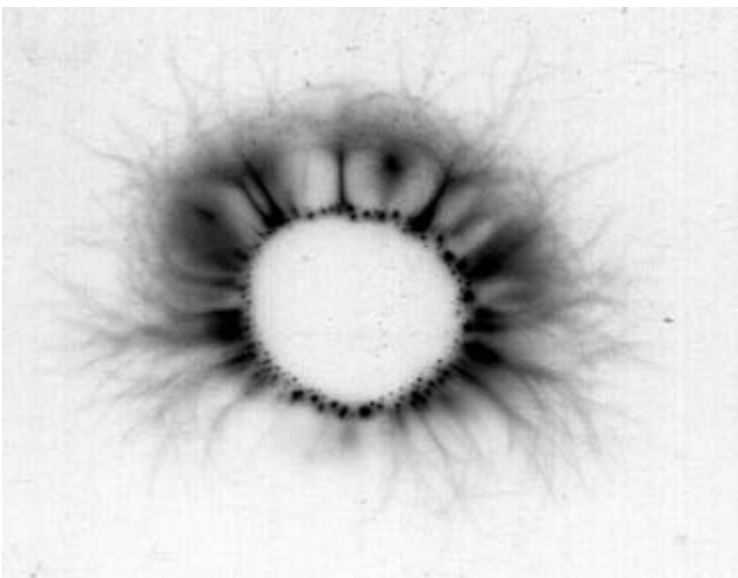


Рис. 8-19. Корона с выпадениями (Песоцкая Л.А.) (негатив).

Черная метка.

Черная метка это провал на позитивном изображении или выброс на негативном изображении.

Исследователи открыли уникальное свойство фотографий каким-то образом «метить» обреченных на несчастья людей, а так же пометать объекты (самолеты, автомобили, корабли, здания), которым предстоит аварии или разрушение. В основе ноу-хау таких фото лежит метод Кирлиана. По мнению специалистов за некоторое время до проблемы объекты начинают аккумулировать в себе энергию разрушения. На сделанных особым способом снимках энергоинформационного поля человека или объекта такая энергия выглядит как черное пятно, поэтому этот феномен часто называют «черная метка».

Помеченные «черной меткой» люди практически обречены на болезни, травмы, а то и на смерть, а объекты созданные людьми, на которых появляется «черная метка», ожидают аварии, поломки, катастрофы и разрушение.

Поразительно, но за месяц до гибели шаттла «Колумбия» российским исследователям стало известно о катастрофе: в ауре всех семерых астронавтов и в энергоинформационном поле самого корабля присутствовали роковые «черные метки». Русские ученые предупредили об увиденном американцев, но в НАСА сообщению не поверили.

Исследование причин возникновения эффекта «черной метки» продолжаются. Специалисты считают, что если в коллективе, который, например, занимается проектированием самолета, раздирают внутренние противоречия (например, люди недовольны условиями своего труда, их не устраивает заработная плата и т.д.), то рано или поздно в энергоинформационном поле такого самолета появится черное пятно, а саму машину ожидают технические неисправности, или катастрофа. У людей «черная метка» может появиться вследствие неблагоприятных поступков, регулярного нарушения моральных заповедей и т.п. Не исключена, передача роковой «метки» и по наследству из-за так называемого родового проклятия. Еще одной причиной черного пятна может стать энергоинформационный пробой или энергоинформационное поражение (сглаз, порча), или другое негативное воздействие. В 70% случаев от «черной метки» можно избавиться. Для этого необходимо осознанно изменить свой образ жизни, что изменит частоту вибраций. Иногда помогают специальные техники молитвы, пост, медитации. Так же оказать помощь могут специалисты-биоэнергетики и др. Избавить от разрушительной программы человека, автомобиль, здания и другие объекты можно так же методами энергоинформационной медицины, главное сделать это своевременно.

8.6 Шарообразные выбросы в короне.

Выбросы в короне представляют собой крупные шарообразные образования различного размера. Они расположены в короне, и либо связаны с ней, либо являются изолированными. Скорее всего, выбросы это динамичные образования, и являются фрагментами, отделившимися от основной короны.

Мандель П. Излучения в форме небольших шариков, которые окружают корону, указывают на вторую стадию заболевания тех органов, в секторах которых зафиксировано такие излучения. Шарообразные излучения являются наиболее часто встречаемыми формами. Они говорят о том, что в соответствующих органах проходят процессы интоксикации и воспаления. Но всё же ещё имеется возможность регенерации, поэтому нужно проводить интенсивную терапию соответствующих органов.

Мамедов Ю.Э. Энергетический выброс, застой это засветка областей, находящихся дальше от основного контура короны свечения, отстоящих от нее или отклоняющихся от овала. Выброс (сброс) энергии наблюдается при некоторых острых состояниях, болевых синдромах (при этом величина выброса зависит от остроты процесса), патологии, связанной с нарушением гомеостаза при функциональном дисбалансе в организме. Застой энергетики чаще характеризует нарушения, связанные со снижением лимфотокровотока и ликвородинамики.

Песоцкая Л.А. Токсический тип свечения. При токсическом типе свечения специфические особенности патологических феноменов проявляются в наличие круговых и точечных зон свечения на внутреннем круге короны, на концах стримеров и в отдалении от стримерного кольца. Они могут по одиночке или группами наблюдаться в том секторе короны свечения, куда проецируется определенный орган или система. Эти «высыпания» в форме точек представляют собой наиболее частую ненормальную форму излучения при Кирлиан диагностике. Они отражают агрессию, интоксикацию или воспаление органов, локализованных в секторах. Речь идет о реактивных признаках, которые показывают, что организм еще располагает активностью.

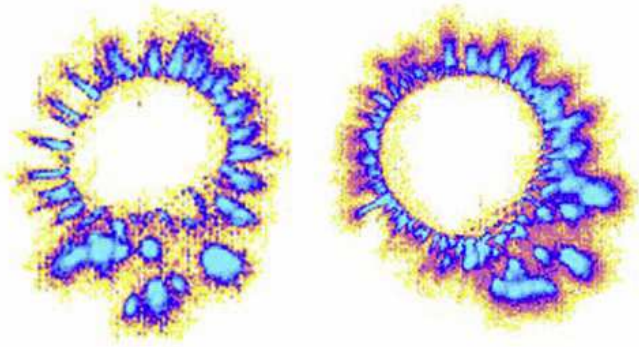


Рис. 8-20. Отстоящие выбросы округлой формы «симптом пятна», (хроническое воспаление).

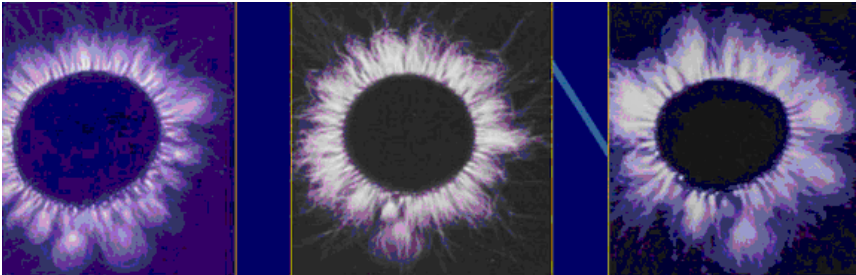


Рис. 8-21. Точечные выбросы (Лопатин С.Л.).

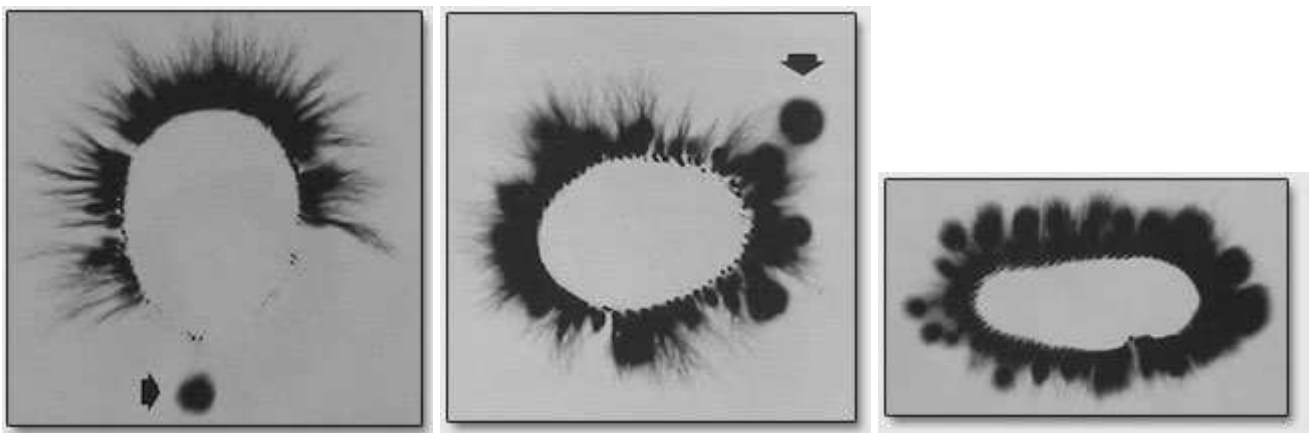


Рис. 8-22. Шарообразное излучение.

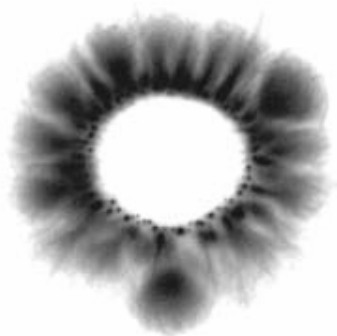


Рис. 8-23. Круговые зоны свечения, связанные с определенным сектором (Песоцкая Л.А.)

1999-Шадури Марина Ивановна

Интерпретации выбросов состоит в том, что они являются реальным отображением (томограммой) органов, в которых происходят нарушения нормального функционирования.

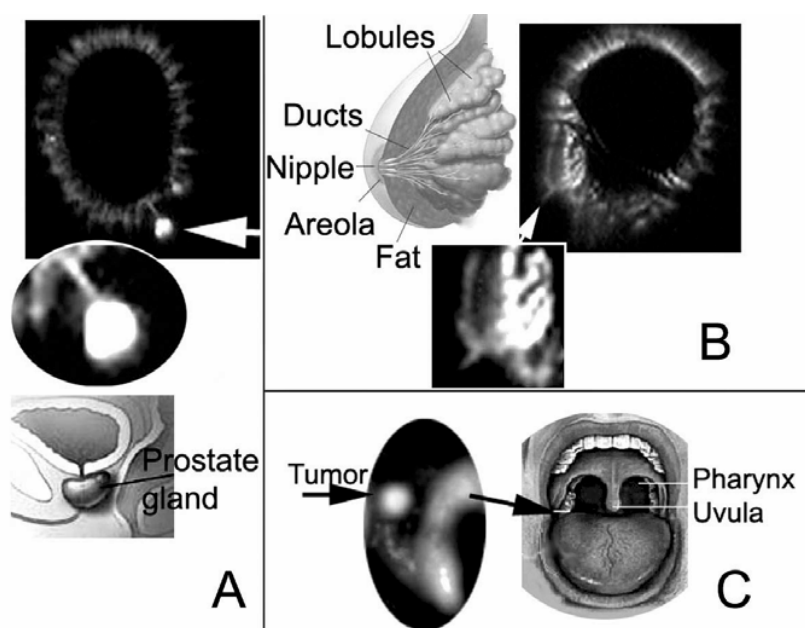


Рис. 8-24. Больные органы и их отображение на кирлианограмме снимка.

1973-Петер Мандель, Германия.

Мандель регистрировал шарообразные излучения на снимках пальцев. Излучения в форме небольших шариков, которые окружают корону, указывают на вторую стадию заболевания тех органов, в секторах которых зафиксировано такие излучения. Шарообразные излучения являются наиболее часто встречаемыми формами. Они говорят о том, что в соответствующих органах проходят процессы интоксикации и воспаления. Но всё же ещё имеется возможность регенерации, поэтому нужно проводить интенсивную терапию соответствующих органов.

Одновременность съёмки пальцев рук и ног играет решающую роль в регистрации отдельно стоящих шарообразных излучений, т.к. эти "мохнатые шарики", как указывает Мандель, имеют свойство перескакивать с меридиана на меридиан, т.е. свободно передвигаться по энергетическому полюю человека. Мы же добавим, что эти шарообразные излучения обнаруживают разумные действия, цель которых скрыться от обнаружения. Поэтому, необходимо одновременное снятие всех сорока меридианов. В противном случае, "мохнатые шарики" будут прыгать справа налево и с меридиана на меридиан, в зависимости от того, какая рука (нога, палец) снимаются, и таким образом останутся незамеченными.

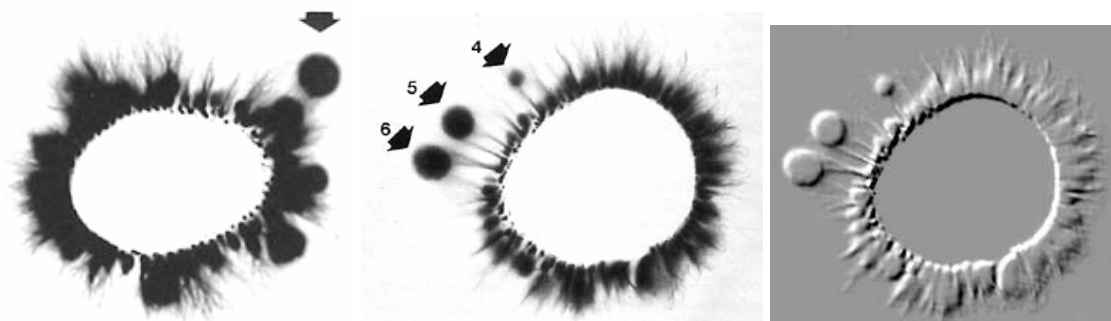


Рис. 8-25. Шарообразное излучение рядом с короной. Несмотря на наличие других, более мелких шарообразных образований, предпочтение в оценке данного снимка отдаётся самому крупному, отдельно стоящему шарообразному излучению, на которое указывает стрелка. Отдельно стоящие образования могут исчезать на одном снимке, чтобы потом появиться на другом снимке, но уже в другом месте. Это касается как единичных шариков, так их групп (шеренг).

Пример интерпретации выброса.

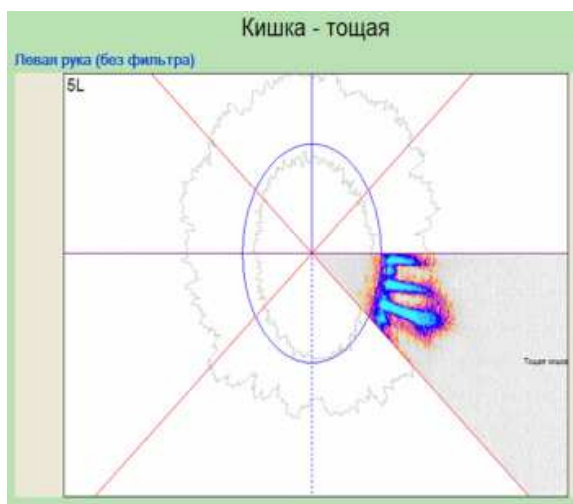


Рис. 8-27. Мизинец левой руки. Лямблиоз с топической локализацией воспалительных проявлений в тощей кишке.

2002- Хяннинен О. Колмаков С. Коротков К. Авагян Р. Теппоне М. (Финляндия) Гетерогенный ответ микроциркуляции кончика пальца руки.

Во время экспериментов на ГРВ-граммах часто регистрировался феномен “энергетических выбросов”.

Выброс как проявление мысли.

Генерация выбросов мыслью, Ануфриев В.П.

Мысль любви, когда ее посылает любящий человек, отображается в виде обособленного кластера в излучениях левого мизинца, если судить не по общему снимку ауры, а по излучениям пальцев рук. У человека же, принимающего такую мысль, находим ее энергетический «след» на Кирлиан снимке правого мизинца.



Рис. 8-38. Выброс генерируемый мыслью любви.

При мысли о ребенке от сердца человека отделяется энергетическое «облачко», при большей сосредоточенности у некоторых людей оно оформляется в обособленный энергетический кластер.

Тестовый эксперимент для проверки гипотезы. Проводится несколько регистраций свечения.

- 1-Человек расслаблен и ни о чем не думает, нет выброса.
- 2-Человек думает о любви, нет выброса.
- 3-Человек прекращает думать о любви, выброс пропадает,
- 4-Человек снова думает о любви, выброс появляется.

При регистрации свечения в динамическом режиме интересно проследить: при мысли о любви излучается один выброс, или они постоянно излучаются с какой-то периодичностью все время, пока человек думает о любви? Скорее всего частота появления выбросов коррелирует с ритмами деятельности мозга.

Телепатическая передача мысли.

Криппнер в своей книге Krippner, Stanley, and Daniel Rubin. 1974. *The Kirlian Aura: Photographing the Galaxies of Life*. New York: Doubleday. 1974. 208 p. Описывает следующий эксперимент.

Фотограф Кирлиан эффекта Jonatan Cohen предложил экстрасенсу, который находится в соседней комнате, послать телепатически символ «М» тому человеку, у которого регистрировалось свечение пальца.



Рис. 8-39. Исходное свечение до передачи (слева) и свечение после передачи (справа).

8.7 Аномальные стримеры.

Наличие больших стримеров в короне означает отклонение от нормального состояния. Это может вызываться различными причинами.

Иногда в короне наблюдаются одиночные выбросы в виде одиночных больших стримеров. Это может происходить в случае, когда одна из пор сильно открыта.

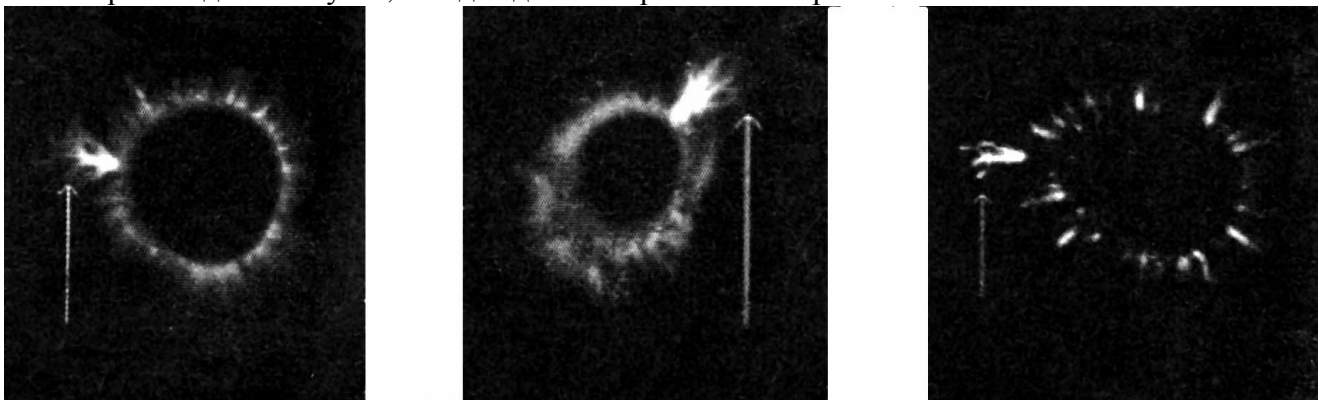


Рис. Выбросы в виде одиночных больших стримеров.

Беломестных Н.В. (Краснодар) диагностировала шейный остеохондроз и гастрит по характерной форме стримеров электрического разряда на кирлиан фотографиях.

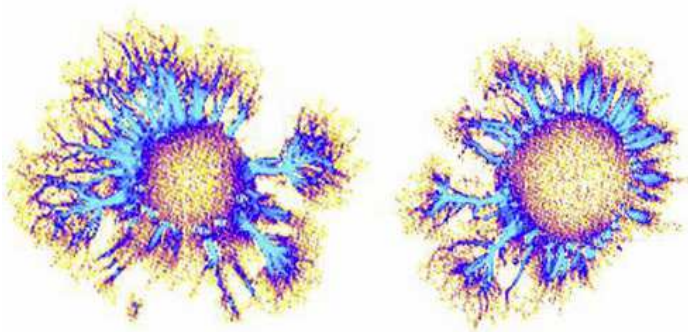


Рис. 8-26. Древовидно ветвящиеся стримеры «симптом ветви», (острое воспаление).

Влияние различных эмоциональных состояний на форму стримеров.

2003- **Инюшин В.М.** Володина И.Л. Отражение психофизиологического состояния в структурах стримеров.

В структуре свечения выделяют:

1-корону (площадь сплошной засветки, тепловой венец)

2-истекающие из нее стримеры.

Как правило, разбирая изображения, специалисты по кирлиановским снимкам наибольшее внимание уделяют состоянию короны. Наиболее разнообразные стримеры получаются на снимках при использовании моноимпульсного генератора с положительной полярностью. Данный метод – электронография был предложен И.Думитреску (1979).

Выделяется несколько типов стримеров:

1-стримеры волнистые. Равномерные, достаточно интенсивные ГПС с длинными, но не чрезмерно, стримерами слегка волнистой формы, наблюдается у людей с хорошо сбалансированной энергетической системой, равномерным распределением энергии по канал акупунктуры.

2-стримеры елочка. Стримеры, характерные для данной группы лиц были названы «волнистыми». Было показано, что самые симметричные плазменные структуры с наиболее прямыми «игольчатыми» стримерами наблюдались у пациентов психоневрологического диспансера при обострении, у наркоманов через 2 часа после приема наркотического вещества, у некоторых биоэнерготерапевтов при подготовке к сеансу психокоррекции, а также у обычных людей в состоянии стресса.

3-стримеры призрачные. Длительные нервные нагрузки и утомление приводят не только к расслаблению интенсивности плазменных структур, возникновению зон их недостаточности, но и к появлению «размытых» стримеров, так называемых «призрачных», ГПС с подобными стримерами было в ряде случаев зарегистрировано у онкобольных..

4-стримеры деревья. Постоянные энергетические упражнения в сочетании с физическими приводят к появлению мощных ветвистых стримеров, отличающихся достаточно большой длиной и интенсивностью.

5-стримеры грабли. «Урезанные» редко расположенные стримеры со слегка игольчатой поверхностью. Они наблюдаются у людей, проводящих очень много времени у компьютера. У регулярно получавших небольшие дозы радиации или работавших с источниками мощного электромагнитного поля и у лиц с повышенной метеочувствительностью в период всплеска геомагнитных бурь.

Так же были выделены и описаны такие формы свечения как «куст», «фонтан», «комета», «торнадо» и т.п. В настоящее время составляется атлас стримеров, который впервые представит их во всем многообразии с подробным анализом тонкой структурной организации. Сопоставление собственных разработок по корреляции биоэнергетического состояния организма с формой и структурой стримеров с многочисленными литературными данными, посвященными оценкам состояния организма в основном по состоянию короны, позволит

расширить рамки данной проблемы и сделать экспресс - диагностику более точной и долговременной.

2003- Инюшин В.М. Володина И.Л. Отражение психофизиологического состояния в структурах стримеров. Наука. Информация. Сознание. VII Междунар. конгресса. СПб., 2003. с..21-22.

Излучение при стрессе.

При стрессе в организме развивается целая цепочка взаимосвязанных процессов. Стресс начинает цепную реакцию в организме с выпуска кортикотропина-рилизинг-гормона (КРГ) в головном мозге. Стресс стимулирует организм к повышенной выработке гормона стресса-кортизола, адреналина и норадреналина, заставляющих кору надпочечников увеличить выработку мужских гормонов, которые, в свою очередь, стимулируют работу сальных желез. **При увеличении работы сальных желез происходит усиление свечения в виде тонких длинных стримеров.**

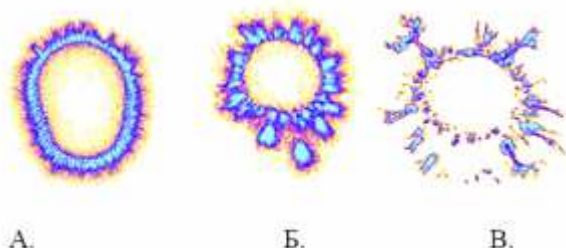


Рис. 8-34. Свечение пальца: А-здоровый человек, Б-кардиологическое заболеваний, В-стресс.

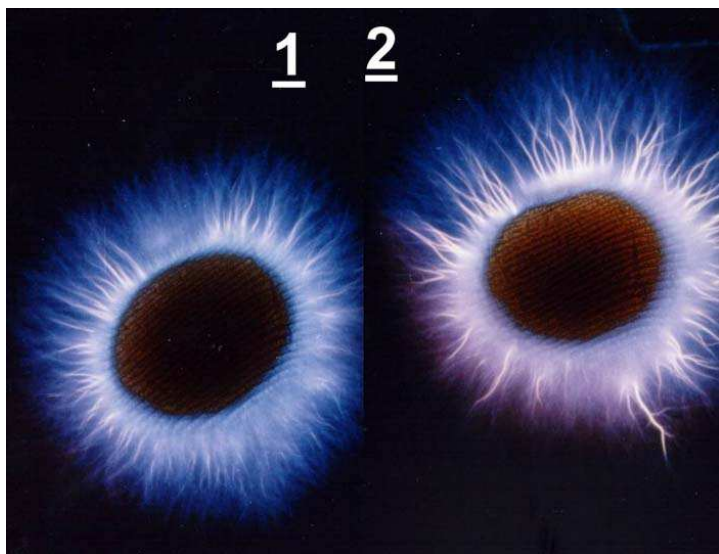


Рис. 8-35. Иглучение пальца в норме (1) и в состоянии стресса (2).

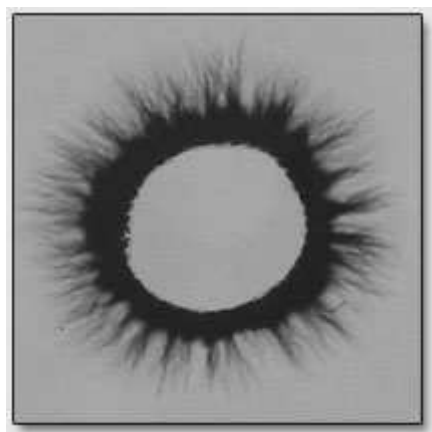


Рис. 8-36. Корона страха. Она говорит о том, что пациент чего-то боится. Хотя сама корона имеет здоровый вид. (Мандель П.)

Коротков К.Г. считает, что наличие точечных объектов связано с измененным состоянием сознания. ИСС понимаются как состояния сознания, качественно отличающиеся по характеру поведения человека и энергоинформационным механизмам от обычных состояний сознания, например, возникающие в экстремальных условиях, под действием психоактивных веществ или психоактивных процедур и т.п.

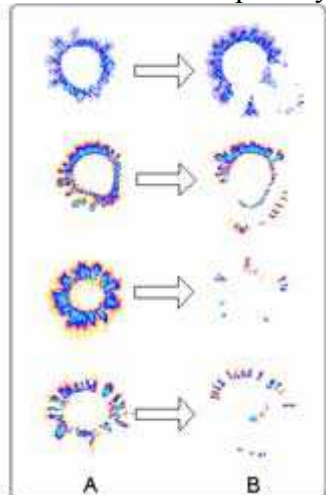


Рис. 8-37. ГРВ-граммы обычного состояния (А) и измененного состояния сознания (В).

8.8 Различные аномалии короны.

Аномалия Двойная корона.

Возникновение свечения в виде двойной короны можно объяснить тем, что регистрируемое поле вокруг пальца (биополе) имеет не один слой, а имеет несколько слоев. При определенных условиях регистрации можно получить больше информации о пространственном распределении поля. Аналогичные картины получаются при дистантном методе регистрации.



Рис. 8-28. Двойное кольцо, снимок Манделя (Германия).

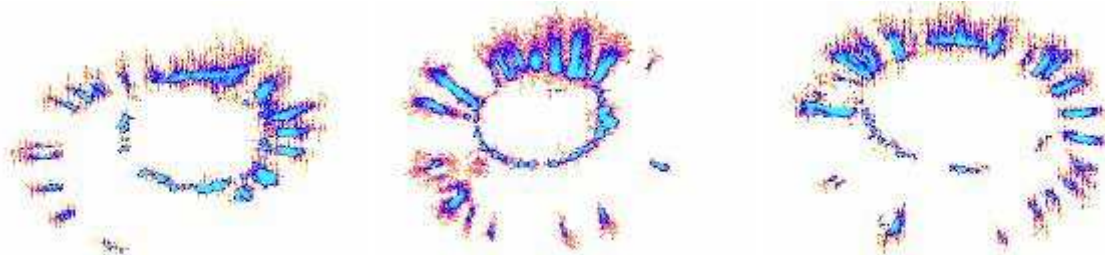


Рис. 8-29. Двойная корона, снимок Koponenko I. (Slovenia).

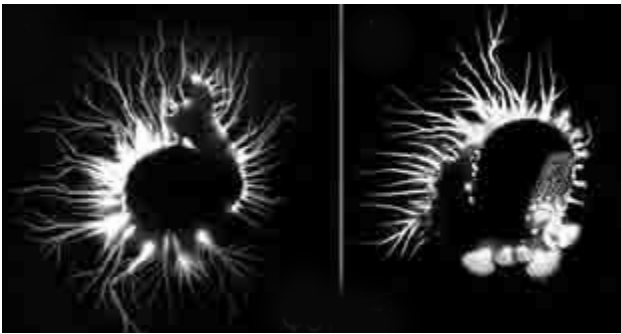


Рис. 8-30. Двойная корона, снимок Бондарева В.М. (Россия).

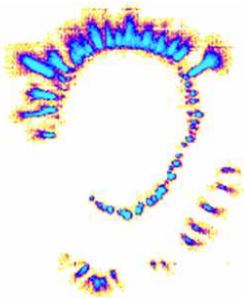


Рис. 8-31. Двойная корона. Коротков К.Г. Интерпретируется как измененное состояние сознания.



Рис. 8-32. Биоплазменные энергетические субстанции, паразитирующие на энергетике человека (Зарегистрировано на приборе АРГД-2, Семенихин Е.Е.).

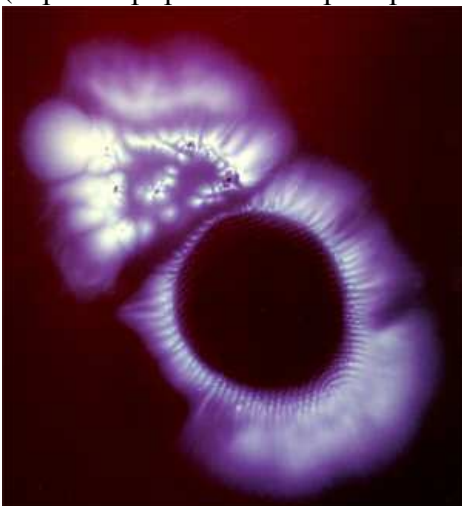


Рис. 8-33. Артефакт.

8.9 Точечные плазмиды.

На снимках свечения иногда возникают аномальные образования. Для их обозначения используют различные термины, аномалия, плазмид. Можно предположить, что существует два типа плазмидов:

- собственные плазмиды, которые сгенерированы самим пациентом,
- внешние плазмиды, которые образовались из внешней среды.

Интересно провести тестовый эксперимент по экспериментальной проверке природы точечных аномалий. Для этого необходимо зарегистрировать свечение в пустом пространстве без внесения объекта в зону регистрации. Тогда если в пространстве существуют точечные объекты, то они будут зарегистрированы. Для того, чтобы убедиться что это не артефакт необходимо зарегистрировать динамику процесса. Необходимо определить, точечные объекты неподвижны или двигаются, двигаются по прямолинейной или по криволинейной траектории, что будет происходить если вблизи зоны регистрации поместить руку, регистрируются ли вылетающие частицы?

Основными компонентами изображения эффекта Кирлиан является корона и тонкие длинные стримеры. Дополнительным информационным компонентом являются нестандартные компоненты (помехи, шумы). На изображениях фотографий эффекта Кирлиан иногда возникают шумы в виде точек и потемнений.

По поводу шумов Коротков говорит следующее: Было обнаружено, что параметр шумов является очень важным для оценки состояния пациента. При работе с Кирлиановским фотопроцессом для некоторых пациентов целые области фотобумаги оказывались засвеченными, или на изображении наблюдались темные пятна, не связанные непосредственно с короной пальца. Но исследовать и оценить этот фактор оказывалось в большинстве случаев невозможно, так как он сильно зависел от типа фотобумаги и характера проявления. В основном он четко наблюдался для людей, обладающих большой «жизненной энергией».

Скорее всего, фотография содержит различные типы информации:

- стандартная корона несет информацию о поверхности пальца,
- дистантная фотография несет информацию о биополе пальца,
- шумовая информация несет информацию об излучении пальца.

Скорее всего, снимки пальцев, полученные в моноимпульсном дистантном режиме содержат информацию о биополе вокруг пальцев.

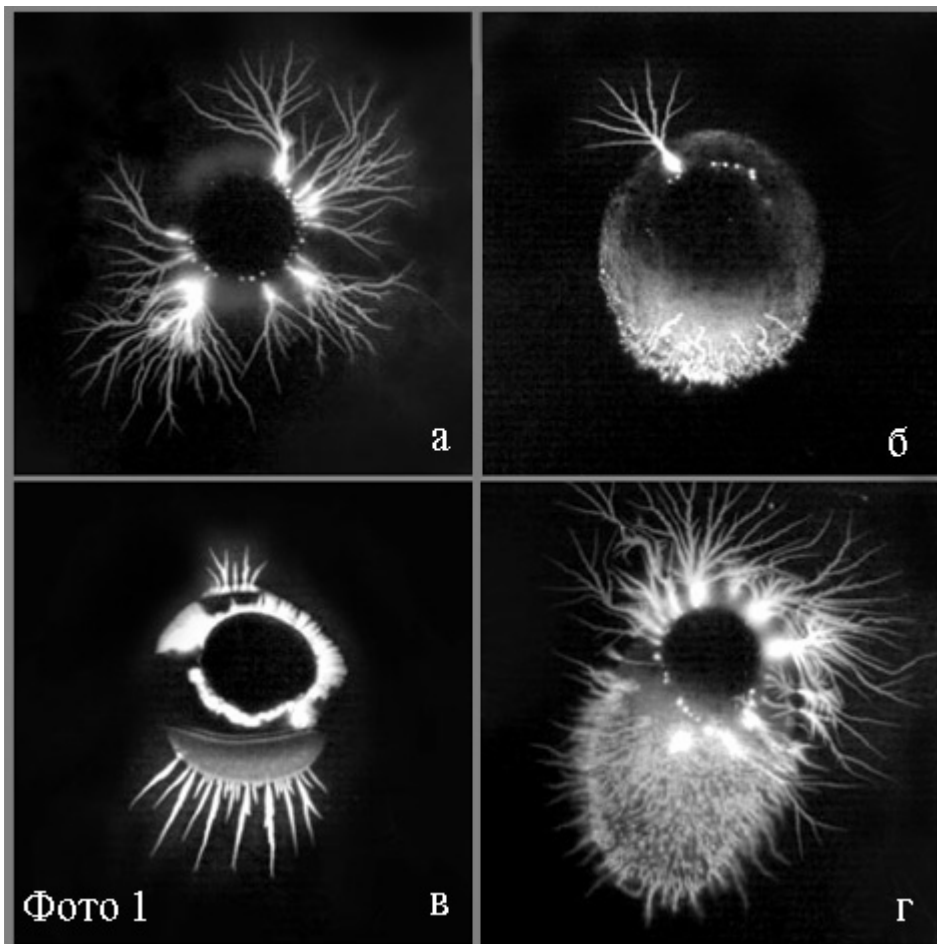


Рис. 8-40. Аномальные изображения, полученные в моноимпульсном режиме (Бондарев В.М.).

1964-Фай Кларк. В марте 1964 года, когда он жил в Хайавате (Айова), Фай Кларк провел ряд опытов по ауруфотографии. Несколько попыток оказались вполне успешными, особенно та, когда можно было увидеть, как спираль электромагнитной энергии выходила из головы Клерка.

Опыты проходили в атомном убежище 40 футов длиной и 24 фута в ширину под двумя футами бетона. Единственным источником света служила аргонная лампа в 1,5 ватта. В этот же вечер Кларк принес в укрытие ультразвуковой генератор. «Мы настраивали генератор на различные частоты. И на одной из них начали появляться световые точки. Они определенным образом группировались, а иногда увеличивались в размерах. У некоторых проявлялись «хвосты». Иногда казалось, что они реагируют на наши мысли. Появилось чувство, что световые точки разумны». Может быть, Фай Кларк сам создал группы огнеподобных шариков путем комбинаций сверхзвуковых частот и собственного мыслительного образа?

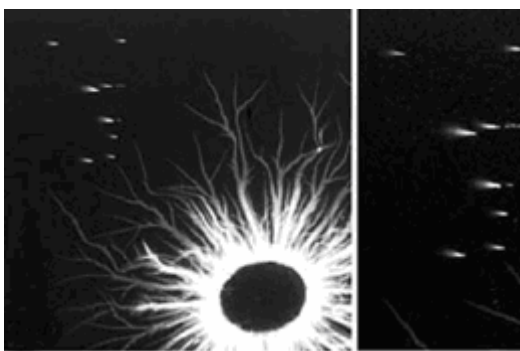


Рис. 8-41. Аномальные явления на фотографии.

1991-Бондарев В. М. кафедра биофизики КазГУ, Алма-Ата.

<http://www.vadimbo.narod.ru> сайт.

Два направления исследований: Кирлиан фотография, и фотографирование аномальных объектов. Необходимо отметить, что точечные образования наиболее четко проявляются при моноимпульсной регистрации свечения. В этом режиме фиксируется одномоментное состояние поля, и не происходит усреднение по многим снимкам как при обычной многоимпульсной регистрации.

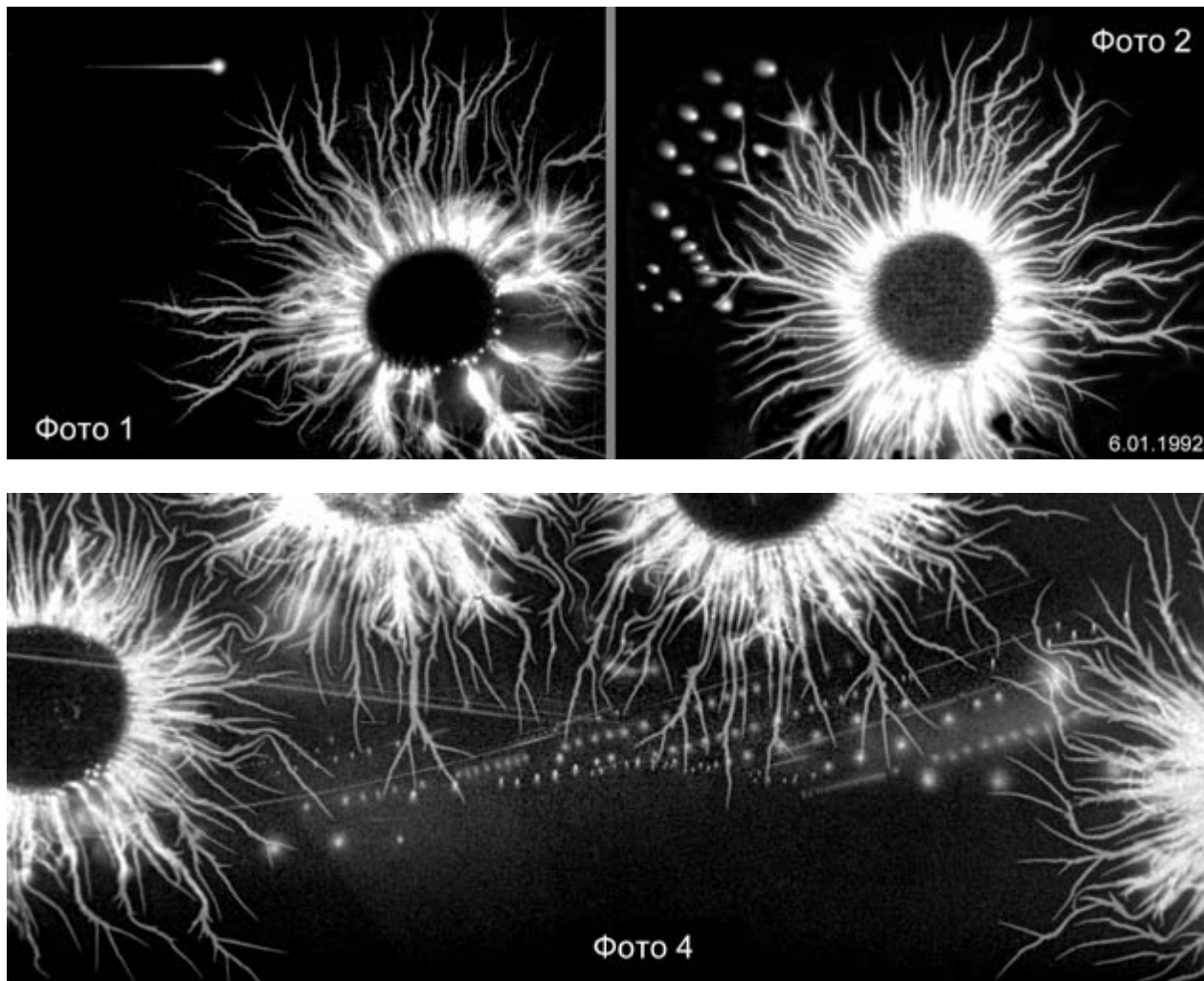


Рис. 8-42. Снимки точечных объектов.

1991-Бондарев В. Из опыта экспериментальных исследований, касающихся феномена пси-фотографирования. Четвертый Региональный научно-технический семинар по ноосферным взаимодействиям. Томск. 16-17 мая 1991. с.70-74.

1999-Бондарев В.М. Моноимпульсная плазмография. Регистрация аномальных энергетических проявлений. Парапсихология и психофизика 1999. №1. 1999. с.68-69.+

1997-Светлов Алексей Васильевич Тамбов.

Интересные результаты получены при регистрации свечения дистантным моноимпульсным методом (60кВ, два импульса). При таком методе регистрации проявляется мгновенная структура поля, находящегося не некотором расстоянии от поверхности. И в этом случае отсекается влияние самой поверхности пальца (кожа, ее влажность, частички на коже), и регистрируется только полевая компонента свечения.

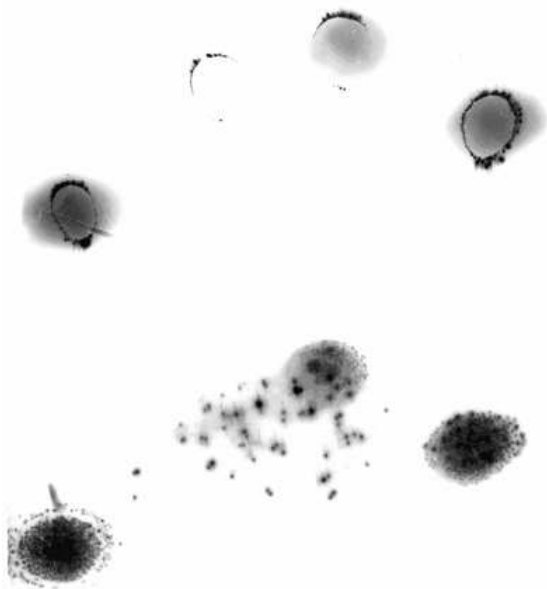


Рис. 8-43. Свечение пальцев, полученное контактным (верху) и дистантным методом (внизу).

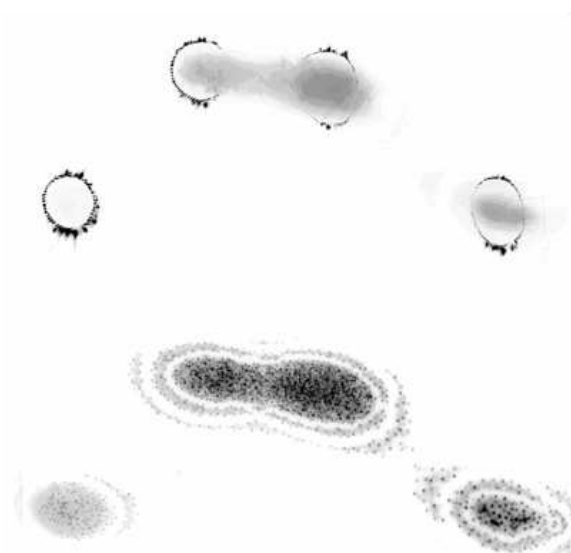


Рис. 8-44. Свечение пальцев, полученное контактным (верху) и дистантным методом (внизу) другого человека.

1999- Масанова Ф.М. (СПб, КТИ) Новые явления, проявляющиеся в коронном разряде. Конф. СПб. 1999.

При биоэлектрографическом исследовании психофизиологического состояния человека многие исследователи не раз наталкивались на необычные свечения, сопровождающие БЭО-граммы пальцев рук человека. Было получено 35 БЭО-грамм с интервалом 1 сек. Наблюдалась динамика проявления необычной структуры от единичного болида до их множества. Проявления подобных структур мы получили неоднократно у одного и того же человека, на разных пальцах. Такое продолжительное свечение этих структур большая редкость, у большинства людей они проявляются изредка и быстро исчезают. Иногда они проявлялись три-пять раз подряд. В результате анализа полученных данных мы пришли к следующим выводам:

- 1-данные структуры проявляются крайне редко, не у всех людей;
- 2-время проявления их в поле газового разряда очень мало;
- 3-возможно, что они могут визуализироваться только в поле высокого напряжения;
- 4-динамика проявления такой структуры говорит о сложности организации этой структуры;
- 5-они существуют в индивидуальном электромагнитном поле человека, так как они фиксируются только вблизи пальцев рук человека.

2010-Песоцкая Л.А.

Точечные плазмиды, или энерго-информационные полевые сущности (плазменные образования) наблюдаются рядом с короной свечения разных пальцев рук в виде «туманностей», дополнительных корон свечения, точек интоксикации структурных образований.

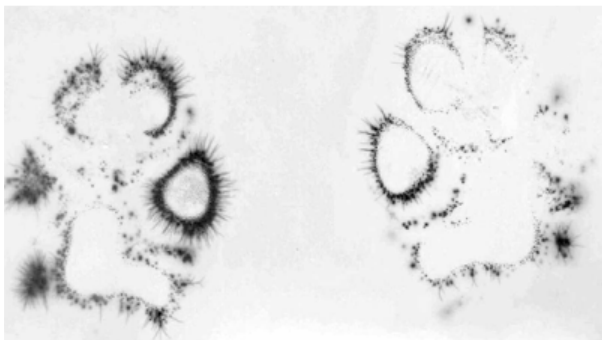


Рис. 8-45. Точечные плазмиды

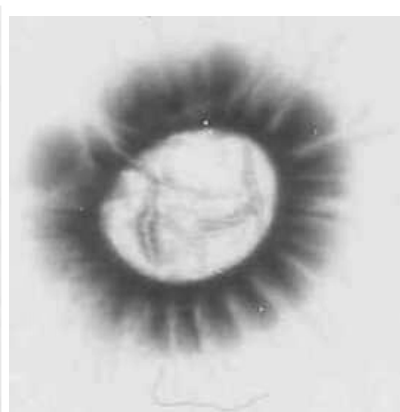
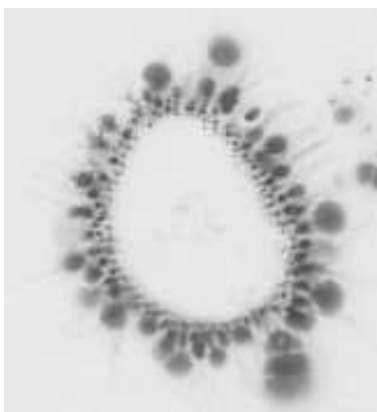
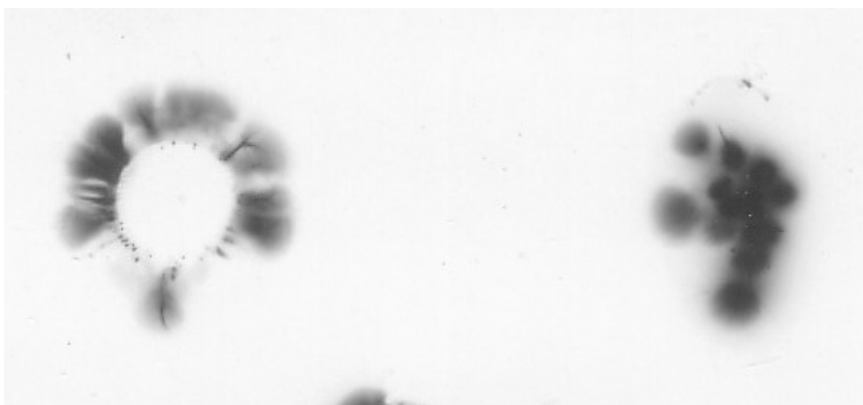
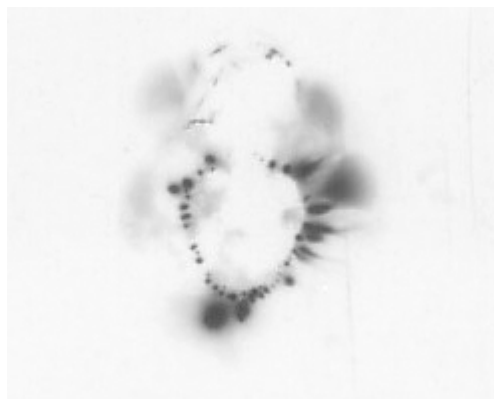
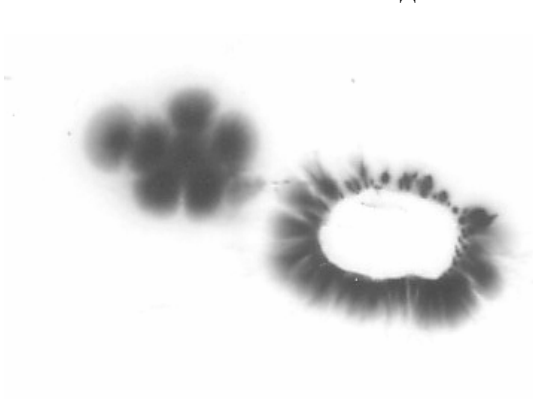


Рис. 8-46. Объекты рядом с пальцем.

2006-Бланк София Михайловна (Sofia Blank), США.

В июле 1995 года она встретила с врачом-психиатром Моисеем Григорьевичем Добрускиным (1923-2005), создавшим модификацию кирлиановского аппарата, осуществлявшего съёмку пальцев и различных объектов на цветную плёнку (Polaroid-600). На снимках этого аппарата регистрировалась не только аура, но и большое количество различных многослойных многоцветных **плазмоидов**, различной конфигурации и световой гаммы полей и потоков, внутри-и внеполевых структур, как отдельных, так и встроенных одна в другую.

С 1995 по 2002 София Бланк вела исследования на американском аппарате. Первый кирлиановский аппарат, купленный в Америке в 1995 г. был произведён фирмой «Panteon Research» и назывался «Kirlian Instant Camera». Чёрно-белые снимки получались на плёнке «Polaroid-667», чувствительностью 3000 ед. На снимках регистрировалась не только аурическая корона, но довольно часто внутри и **внеполевые световые объекты** самой различной конфигурации. Иногда регистрировались структуры, похожие на лица ушедших в иной мир близких, однако в большинстве случаев это были незнакомые облики.



Рис. 8-47. Регистрация постороннего объекта рядом с пальцем.

8.10 Многослойное строение короны.

При регистрации свечения дистантным методом можно заметить, что свечение имеет несколько слоев. Первый слой находится непосредственно от поверхности кожи и до расстояния 1-2мм. Затем идет узкий темный промежуток, и за ним расположен второй слой толщиной 2мм. Затем темный промежуток толщиной 2мм. Затем идет третий слой, который постепенно ослабевает до расстояния 6-7мм.

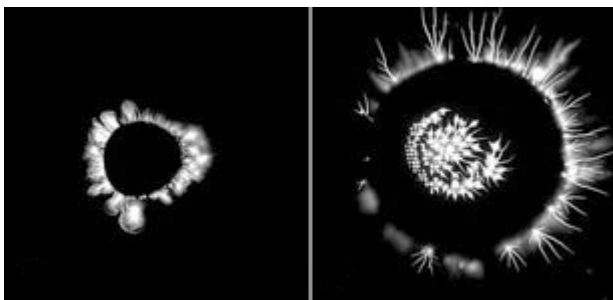


Рис. 8-7. Фотографии, полученные при контактном (слева) и дистантном (справа) методе регистрации (Бондарев В.М.)

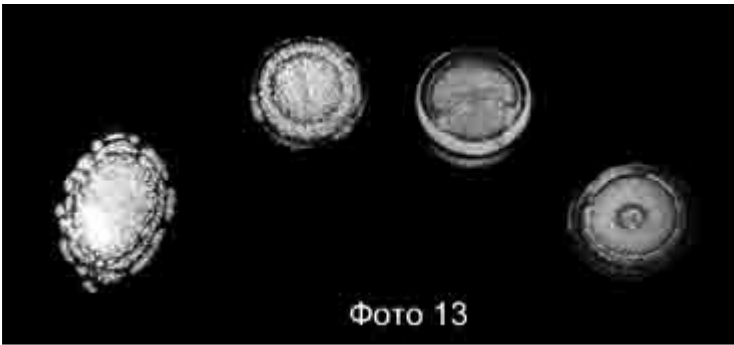


Рис. 8-8. Пальцы одной руки в моноимпульсном дистантном режиме (Бондарев В.М.)

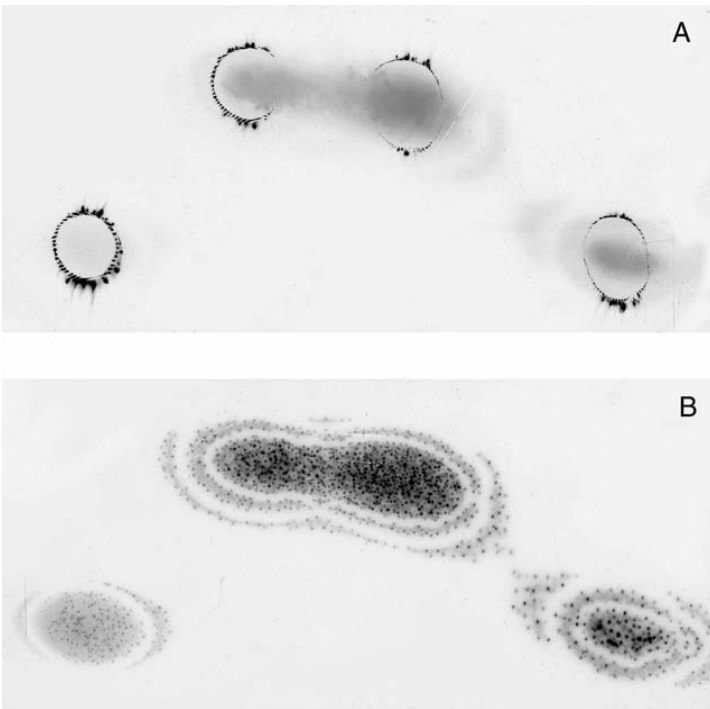


Рис. 8-9. Изображения пальцев полученных контактным методом (А) и дистантным методом (В). (Светлов А.В.).

8.11 Взаимодействие биополей двух людей. Совместимость людей.

1882-Наркевич-Йодко предсказал возможность использования метода для определения психологической совместимости людей.

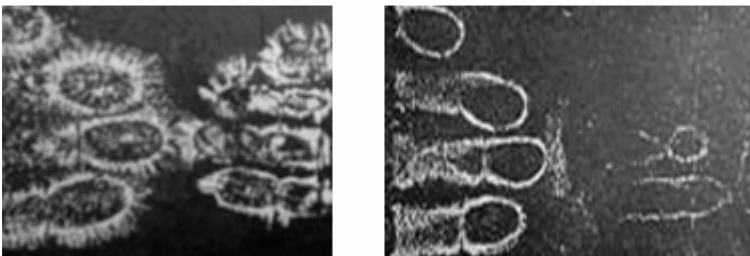


Рис. 8-48. Тестирование совместимости двух людей, люди совместимые (слева), люди не совместимые (справа). (Наркевич-Йодко).

1965-Кирлиан С.Д.

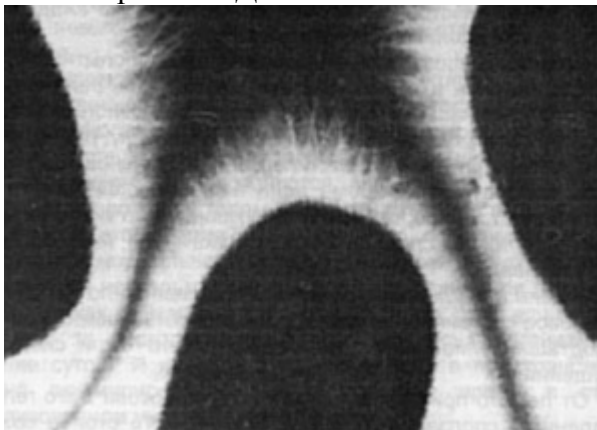


Рис. 8-49. Свечение трех пальцев различных людей.

Из фотографии видно, что поля разных людей влияют друг на друга, или это просто такое пространственное распределение электромагнитного поля.

1968-Антонов Антон (prof. Antovov Anton), профессор, Болгария.

Он провел совместную высокочастотную фотографию двух человек. Сравнивая высокочастотную фотографии, мы установили, что в одних случаях их далекие ореолы сливаются, а в других дистанцированы. В четырех таких случаях наши анкеты показывают характерную психологическую совместимость или несовместимость, соответствующую сливающимся или дистанцирующимся ореолам. Эти данные привели нас к мысли о поиске методов для установления совместимости между врачом ЛФК, массажистом и пациентом. Проводимые до настоящего времени эмпирические наблюдения показали, что при лечении пациента массажистом это особенно важно. Считается, что лучший лечебный эффект достигается, когда существует совместимость между биофизическими полями обоих. Эта совместимость, вероятно, могла бы устанавливаться при помощи высокочастотной фотографии. При наличии совместимости одновременная высокочастотная фотография показывает преобладание тенденции к слиянию, взаимодействию, и наоборот: при несовместимости существует тенденция к отталкиванию, и результатов в лечении обычно не достигают. Есть еще один путь использования в будущем метода высокочастотной фотографии для обнаружения совместимости между врачом ЛФК, массажистом и пациентом. Это особенно важно для входящих в прямой телесный контакт с пациентами медицинских работников кинезитерапевта, реабилитолога, массажиста и др.

1990-Antonov A. Galabova T. Some Physical and Physicochemical problems of bioinformation, Bulg. 1990.

1995-Antonov A. Investigations of the Nonequilibrium Processes in the interfaces in Distributed Systems, Thesis for "Doctor of Physical Sciences", Sofia 1995.

Болгарский биофизик Игнатов использует эффект Кирлиан для уточнения возможностей экстрасенсов и определения биологической совместимости врача (целителя) и пациента. Одновременное фотографирование пальцев целителя и пациента в лучах Кирлиан сразу покажет, чего ждать от их сотрудничества. Если эти двое подходят друг другу, между двумя ореолами на снимке образуется тонкая перемычка в виде коромысла. Если же такого «коромысла» нет, лучше двум испытуемым не вступать в контакт. Результаты нового теста по наличию Кирлиановского «коромысла» учёные сопоставляли с надёжными психологическими тестами и убедились в высокой его точности.

Интереснейшие данные получены при исследовании методом Кирлиан психологической совместимости различных людей. Это открывает перспективы нового подхода к вопросам профессионального отбора, особенно при учете взаимоотношений в малых группах, проблемам формирования семьи и индивидуальных отношений.

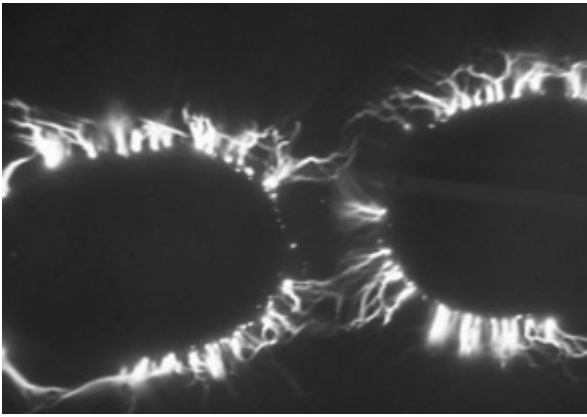


Рис. 8-50. Биополе между пальцами двух разных, но совместимых людей.

8.12 Попытка объяснения аномального строения короны.

В норме строение короны правильное. Основной вопрос состоит в том, что является причиной отклонения строения короны от нормы. Рассмотрим две причины: поры и биополе.

1-Поры. Первая, и основная, причина состоит в отклонении от нормы состояния пор. Однако этим можно объяснить только величину стримеров. Это проявляется в возникновении провалов (подавленное состояние поры закрыты) и корона страха (возбужденное состояние поры расширены).

2-Стационарное биополе человека, биополе тела. Вторая причина изменения формы короны состоит в изменении биополя. Биополе проявляется следующим образом. Наличие биополя в прилегающем к коже пространстве вызывает изменение физических свойств среды, электропроводности воздуха. Чем сильнее биополе, тем сильнее изменение свойств. В связи с этим изменяется форма разряда. Это проявляется в изменении формы и размере центральной разветвленной части стримеров. Интенсивность биополя влияет на величину стримера. Другое проявление биополя состоит в образовании выбросов. В этом случае играет роль неоднородность биополя. Чем сильнее неоднородность, тем более крупные сферические выбросы образуются. Локализация неоднородностей биополя связана с секторальным строением излучения от пальца.

3-Динамическое биополе человека, биополе мысли. Эта неоднородность пространства (мыслеобраз, фантом мысли, энерго-информационный объект) существует независимо в пространстве. Но проявляется он вблизи пальца из-за того, что в этой области существует электрический разряд.

4-Внешнее поле, плазмиды. Это внешние энерго-информационные образования, которые проявляются вблизи пальца из-за того, что в этой области существует электрический разряд.

Уже неоднократно наблюдалось, что при наличии сильных электрических полей и электрических разрядов возникают различные ранее непонятные явления (НЛО, шаровые молнии, призраки, видения). Это объясняется тем, что в сильных электрических полях проявляется неоднородность пространства (вакуума), вызванная наличием неэлектромагнитных полей (биополей).